

# 美国关于气动彈性問題的 專家會議資料

国际航空杂志社

1960.10.

北京

## 目 录

1. 最近在小展弦比机翼颤振分析方面的一些发展 ..... ( 1 )
2. 利用由核函数方法获得的非定常空气作用力的一般平面形状机翼  
的颤振分析的发展 ..... ( 34 )
3. 对亚音速振盪气动力影响系数的一种測量方法的研究 ..... ( 47 )
4. 颤振現象的基本原理 ..... ( 61 )
5. 颤振設計原理 ..... ( 69 )
6. 用低速颤振模型試驗和趨向曲綫建立颤振边界 ..... ( 78 )
7. 利用導納測量的主形态激振方法 ..... ( 82 )
8. 自振形态分析的刚度矩阵法 ..... ( 90 )

# 最近在小展弦比机翼颤振分析 方面的一些发展

Pao-Tan Hsu

美国麻省理工学院气动弹性和结构研究试验室研究工程师

## 引言

成功的颤振分析在很大程度上决定于准确的定升力面上的空气载荷。很多年来在预测颤振机翼上的亚音速空气动力方面成功的分析工作绝大多数都局限于二元气流，而对有限翼展的机翼，主要工作是研究不可压缩流中的情况（参考文献1—3）。在对亚音速可压缩流的研究中，下列几篇论文是值得注意的：Merbt 和 Landahl 的论文（参考文献 9），他们将极小展弦比的理论推广到包括 M 数效应的情况；Reissner 的论文（参考文献 10），他对 Mathieu 函数在亚音速可压缩流中的应用作了评价；W. P. Jones 的论文（参考文献 11）和 Lurian（参考文献 12）研究了大展弦比的情况。

在  $0 < M < 1$  的范围内简谐机翼运动的线性化边界值问题可以用速度势，或用加速度（或压力）势的公式表示。后一种形式的优点是：积分方程式只需要延及机翼面积，因为横跨尾流的压力跃变为零。通常不可能获得积分方程式的解析解，只有对如椭圆形或圆形等特殊平面形状（这种情况可用可分离的坐标）才能获得解析解，虽然如此，但一般问题仍可借助于高速计算机作数值的处理。

几年以前，Watkins, Runyan 和 Woolston（参考文献 13）以及 Voss, Zartarian 和 Hsu（参考文献 14）同时列出了表示任意平面形状机翼的压力和上洗分布之间的关系的积分方程式，并研究了所得到的核函数的性质。Harvard 计算试验室计算出了此函数在 M 数（M）和减缩频率（k）的广泛范围内的数值表（参考文献 15）。还曾经提出了几种求此积分方程式数值解的方法。早期的方法（参考文献 14, 16）是将机翼平面形状分成若干小面积或“小格”。在每一小面积内假设为简单的压力分布，计算出其对于总上洗积分的影响，这样就导出了一组以位于小格中心的处压力值为未知数的代数方程式，其解可提供所需的压力分布，结果的准确度则大概决定于所选择的网格的精细程度。曾经用此方法计算过某些非箭形机翼在亚音速时的情况并获得了满意的结果（参考文献 16）。但是根本性的非议（参考文献 17）使得此法被放弃了。值得注意的是在超音速流中应用一种类似的“小格”方法获得了满意的结果。根据压力在整个机翼平面形状上作連續变化的假设 Runyan 和 Woolston（参考文献 18）及本文作者在不久以前（参考文献 17）以几种不同的形式发展了一种对超音速流更好的求解方法。

Multhopp（参考文献 19）和 Richardson（参考文献 20）发表了用类似的方法对问题研究的结果。Runyan 和 Woolston 继续了早期 Watkins 所进行的工作，而 Runyan 和 Woolston（参考

文献18) 并将其应用到任意平面形状的机翼。在他們的方法中，弦向压力分佈是用一系列根据 Falkner (参考文献21) 所用的概念提出的当量载荷来代替。在翼展方向，载荷綫被分为 20 段，而对每一段作数值积分。Multhopp 的方法是基于用解一组线性方程式的方法计算弦向一些分点处的局部升力和力矩。沿展向积分的技术采自同一作者推导出的升力綫理論。Richardson 的概念和 Multhopp 的概念相似，并将其更推广到包括音速和超音速的情况。

本文将闡述参考文献17中发展的解法，并附有一些数值实例。此方法和上述的研究工作有很多相似之处。主要不同点在于沿展向积分的技术。适当选择一系列相互交叉的上洗和展向分点，用简单地略去核函数中二阶奇異点的方法可以获得正确的积分結果。在翼弦方向，找到了最有利的上流位置和积分点，这些位置和 Richardson 用于亚音速情况中的完全相同。弦向分点的数目不限于 2 个（如 Multhopp 提出的情况），用这些分点很明显比 Runyan 和 Woolston 所用的 Falkner 方法更有效。

### 問題的表示式

在参考文献14和16中给出了代表亚音速可压缩流中振盪升力面上压力和上洗之間关系的积分方程式。此式可写成如下的形式：

$$-W(x, y, \phi) = \iint_A \frac{\partial \bar{p}(\xi, \eta)}{\partial \eta} D(x-\xi, y-\eta) d\xi d\eta + \iint_A \bar{p}(\xi, \eta) [F(x-\xi, y-\eta) + H(x-\xi, y-\eta)] d\xi d\eta \quad (2.1)$$

式中

$$\begin{aligned} W(x, y, \phi) &= 4 \pi \rho U \bar{w}_*(x, y) \\ &= 4 \pi \rho U^2 \left( \frac{\partial z_n}{\partial x} + i k z_n \right) \end{aligned}$$

所有的长度都是用半翼根弦长  $b_0$  除后所获得的无因次量。W 为上洗的幅值，并規定它具有压力的因次。

在上述表示式中 D 和 F 都是核的奇異部分，而 H 为核的非奇異部分。很明显，D 和 F 可以写成：

$$D(x-\xi, y-\eta) = e^{-ik(x-\xi)} \frac{1}{y-\eta} \left[ 1 + \frac{\sqrt{(x-\xi)^2 + \beta^2(y-\eta)^2}}{x-\xi} \right] \quad (2.2)$$

$$\begin{aligned} F(x-\xi, y-\eta) &= e^{-ik(x-\xi)} \left[ \frac{i k}{\sqrt{(x-\xi)^2 + \beta^2(y-\eta)^2}} \right. \\ &\quad \left. - \frac{k^2}{2} \ln |\sqrt{(x-\xi)^2 + \beta^2(y-\eta)^2} - (x-\xi)| \right] \quad (2.3) \end{aligned}$$

可以注意到，F 中的奇異点为可积分的，而 D 中的奇異点和  $\frac{\partial p}{\partial \eta}$  结合形成非正常积分，应取其 Cauchy 主值。如果暂时我們不考慮 D 中有奇異点存在，并对第一个积分沿展向用分部积分法积分，可得

$$\iint_A \frac{\partial \bar{p}(\xi, \eta)}{\partial \eta} D(x-\xi, y-\eta) d\xi d\eta$$

$$= \int \bar{p}(\xi, \eta) D(x-\xi, y-\eta) \left[ d\xi - \iint_A \bar{p}(\xi, \eta) \frac{\partial D}{\partial \eta} d\eta d\xi \right] \quad (2.4)$$

当前缘为非后掠时，由于在两侧翼尖处的压力为零，方程式(2.4)的第一部分将等于零。方程式(2.4)的第二部分为奇异积分，可用取其“有限部分”的方法计算。当前缘为后掠时，对一和前缘相交的展向片条，偏积分为非正常积分，因为在方程式(2.4)的两部份都将出现奇异点。将方程式(2.4)代入方程式(2.1)，可得：

$$\begin{aligned} -W(x, y, 0) &= \iint_A \bar{p}(\xi, \eta) \left[ -\frac{\partial D}{\partial \eta} + F + H \right] d\xi d\eta \\ &= \iint_A \bar{p}(\xi, \eta) K(x-\xi, y-\eta) d\xi d\eta \end{aligned} \quad (2.5)$$

方程式(2.5)中的量值K是压力—上洗积分的依赖性的核函数，但是由于其奇异特性，在计算方程式(2.5)时应特别小心。

在参考文献14和16中描述了原提出的方程式(2.1)对任意机翼的解。曾经计算出很多数值的实例。结果的准确度各有不同，而沿弦向片条的压力分布呈现相当显著的波动，虽然总的升力和力矩的结果还是相当的好。

压力的波动似乎是伴随着“小格”方法而引起的。甚至对相当简单的平面形状（如二元翼型）都会发生此种波动，有鉴于此，显然“小格”的概念本身还应慎密研究。确实，可以证明，在亚音速区、对有限上洗分布，压力分布的不连续性是不容许的，这意味着，对平滑的连续上洗分布，相应的压力分布也必须是平滑和连续的，除前缘处的方根奇異点外。这就说明，象前面“小格”方法中所用的非連續的压力分布本来就是不合适的。

为了更明显的說明此問題，我們將研究最简单的情况，即二元定常不可压缩流的情况。对此情况，核函数和积分方程式简化为

$$\int_{-\infty}^{\infty} K(x-\xi, y-\eta) d\eta = \frac{2}{x-\xi} \quad (2.6)$$

$$\begin{aligned} -W(x) &= -4\pi \rho U \bar{w}_n(x) \\ &= \int_{-1}^1 \frac{2 \bar{p}(\xi)}{x-\xi} d\xi \end{aligned} \quad (2.7)$$

方程式(2.7)的解为熟知的 Söhnigen 反演公式：

$$\bar{p}(x) = \frac{1}{2\pi^2} \sqrt{\frac{1-x}{1+x}} \int_{-1}^1 \frac{W(\xi)}{1-\xi} \frac{d\xi}{x-\xi} \quad (2.8)$$

当根据参考文献14中提出的方法解方程式(2.7)时，弦向区间(-1, 1)应分为若干个（例如6个）“小格”。在每一“小格”内假設为某种简单的压力分布，小格的中点同时取为积分点和配置点，可以写出一组右边各项为小格中心处上洗的六个联立方程。对不变的上洗，其結果如参考文献14图5所示。虽然結果按平均說是好

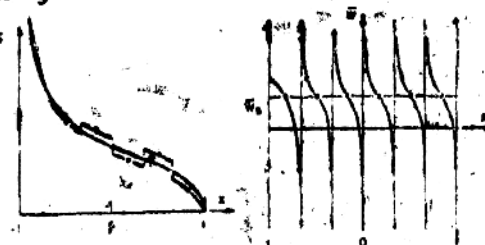


图1. 根据参考文献14的解繪制的在定常非压缩流中翼型的压力和上洗分布  
—— 正確值 —— 6 小格

的，但沿弦向有显著的局部变化。如果将问题中压力和上洗分佈二者绘成曲线如图1，由此曲线可观察到下列事实：

- (1) 压力分佈的不連續性的結果是在相應分点处的上洗为无限大。
- (2) 选择均匀的“小格”大小不一定是最合适的。
- (3) 由于在上洗中出現了奇異点，上洗配置点的位置是很值得推敲的。
- (4) “小格”中心不一定是最好的上洗配置点。

由上述很明显，“小格”方法对低音速流問題是更不适当的。問題的本質要求所假設的压力分佈在整个机翼上为連續的。但是不論压力分佈采取什么形式，都必須滿足一些基本的边界条件，即：(1) 压力隨前緣的距离的平方根趋于无限大，(2) 压力隨和后緣的距离的平方根趋于零，(3) 在两个翼尖处的压力相等。在压力分佈中每一項的弦向表示式可以最方便地由二元理論組合展向表示式求得，結果为一有限二重級數，每一項前面的系数将为需要根据一系列已知上洗分佈来确定的未知数。

压力分佈的表示式可以写成如下的形式：

$$\begin{aligned} \bar{p}(\xi, \eta) &= \bar{p}(\xi, \eta) \\ &= \frac{4\mu U^2}{b(\eta)} s_0 \sqrt{1-\eta^2} \left\{ [a_{00} + a_{01}\eta + a_{02}\eta^2 + \dots] \sqrt{\frac{1-\xi}{1+\xi}} \right. \\ &\quad + [a_{10} + a_{11}\eta + a_{12}\eta^2 + \dots] \sqrt{1-\xi^2} \\ &\quad \left. + [a_{20} + a_{21}\eta + a_{22}\eta^2 + \dots] \xi \sqrt{1-\xi^2} + \dots \right\} \end{aligned} \quad (2.9)$$

式中  $\xi$  和  $\eta$  分別为正规化无因次的弦向和展向坐标，坐标变换将在下一节內討論。此表示式和参考文献18中所用的相同。

直到这里我們只指出了“小格”法的不合适之处。实际問題是如何对一已知平面形状，上洗分佈，M数和減縮頻率求解方程式(2.5)和方程式(2.9)。这里所提出的方法和Runyan 和 Woolston (参考文献(18)和其他人所用的方法相似，但是却是从一个完全不同的观点导出的，而其結果具有有一定价值的特性，这将在后面說明。这里将先由简单的二元情况开始。

### 在二元流中上洗分点和积分分点的最佳位置

对二元定常流，由熟知的激翼理論可知，对連續上洗分佈（例如写成如下的經過改組后的零級數形式）：

$$-W(x) = c_0 + c_1 x + c_2 \left(-\frac{1}{2}x^2\right) + c_3 \left(-\frac{1}{2}x^3 + x^4\right) + \dots \quad (3.1)$$

根据方程式

$$-W(x) = \oint \frac{2\bar{p}(\xi)}{x-\xi} d\xi \quad (3.2)$$

弦向压力分佈可用下列的級數表示：

$$\bar{p}(\xi) = \frac{1}{2\pi} \left\{ c_0 \sqrt{\frac{1-\xi}{1+\xi}} + c_1 \sqrt{1-\xi^2} + c_2 \xi \sqrt{1-\xi^2} + c_3 \xi^2 \sqrt{1-\xi^2} + \dots \right\} \quad (3.3)$$

上述級數的每一項相應于一連續上洗分佈。同時每一壓力項都滿足 Kutta 幾何條件，在後緣處 ( $\xi = 1$  時) 等于零。

因為壓力和上洗分佈相互間為一積分方程式所聯繫，所以可以推測到我們的函數在每一點的值都會受另一函數整個分佈情況的影響。如果沿弦向每一點的上洗分佈都已知，則壓力分佈有一唯一解。但是如果只有有限分點處上洗為已知，則同樣壓力也只能滿足有限數量的條件，因而不是唯一的。對  $m$  個已知上洗，則只能計算出在壓力方程式 (3.3) 中  $m$  個不同的項。這樣，恰當的問題是，是否存在有一組適當的上洗配置點，在某些意義上可以給出問題的最佳解。對問題的回答是肯定的，可證明如下。

假設已知  $m$  個點處的  $m$  個上洗  $W(x_1), W(x_2), \dots, W(x_m)$ 。要找出一壓力分佈，由此壓力分佈引起的上洗在這些點  $x_1, x_2, x_3, \dots, x_m$  处為正確的。我們暫不確定  $x_1, x_2, x_3, \dots, x_m$  的位置。這樣有三個問題需要回答。

(1) 有沒有可優先選擇的上洗配置點  $x_1, x_2, x_3, \dots, x_m$ ?

(2) 如何假設  $p(\xi)$  的表示式?

(3) 如果最終表示式不能用解析法積分，則應如何進行數值積分?

假設上洗  $W(x_1), W(x_2), \dots, W(x_m)$  可以由某一連續上洗分佈  $W(x)$  確定。不需要知道關於  $W(x)$  的更多的情況，很合理地可以假設  $W(x_1), W(x_2), \dots, W(x_m)$  為  $(m-1)$  次多項式，例如  $W_p(x)$ ，在每一點的值，則可得：

$$-W_p(x) = a_0 + a_1 x + a_2 x^2 + a_3 x^3 + \dots \quad (3.4)$$

正確的压力分佈和多項式近似表示式可以由方程式 (2.8) 获得

$$p(x) = \frac{1}{2\pi^2} \sqrt{\frac{1-x}{1+x}} \int_{-1}^1 \sqrt{\frac{1+\xi}{1-\xi}} \frac{W(\xi)}{x-\xi} d\xi \quad (\text{正確值}) \quad (3.5)$$

$$\bar{p}_p(x) = \frac{1}{2\pi^2} \sqrt{\frac{1-x}{1+x}} \int_{-1}^1 \sqrt{\frac{1+\xi}{1-\xi}} \frac{W_p(\xi)}{x-\xi} d\xi \quad (\text{多項式近似式}) \quad (3.6)$$

二式相減，可得

$$\begin{aligned} p(x) - \bar{p}_p(x) &= \\ &= \frac{1}{2\pi^2} \sqrt{\frac{1-x}{1+x}} \int_{-1}^1 \sqrt{\frac{1+\xi}{1-\xi}} \frac{1}{x-\xi} [W(\xi) - W_p(\xi)] d\xi \end{aligned} \quad (3.7)$$

如果能使此壓力差達最小值，則可認為  $W_p(x)$  為  $W(x)$  的良好的近似值。但是，因為方程式 (3.7) 表示的壓力差為  $-x$  的函數，只可能求其平均最小值，即：

$$\begin{aligned} J &= \int_{-1}^1 [p(x) - \bar{p}_p(x)] dx \\ &= \frac{1}{2\pi^2} \int_{-1}^1 \sqrt{\frac{1-x}{1+x}} \int_{-1}^1 \sqrt{\frac{1+\xi}{1-\xi}} \frac{1}{x-\xi} [W(\xi) - W_p(\xi)] d\xi dx \\ &= \frac{-1}{2\pi} \int_{-1}^1 \sqrt{\frac{1+\xi}{1-\xi}} [W(\xi) - W_p(\xi)] d\xi \\ &= \text{最小值} = 0 \end{aligned} \quad (3.8)$$

方程式 (3.8) 紿我們一個很重要的條件，即如果使在  $m$  個點  $x_1, x_2, x_3, \dots, x_m$  ( $x_1, x_2, x_3, \dots, x_m$  為一  $m$  次正交多項式在區間  $(-1, 1)$  內的根) 处上洗之差  $W(\xi) - W_p(\xi)$  全等於零，

則可使機面升力的誤差等於零。這樣，根  $x_1, x_2, x_3, \dots, x_m$  即為所需的上洗點。方程(3.8)可以得到滿足，如果  $W(\xi)$  為一多項式，其最高次數不高於  $(2m-1)$ 。這可以很容易地證明如下：由於 Chebyshev—Gauss 求積分公式的定理（參考文獻22，P:331）可知，如方程式(3.9)所示形式的積分可以用在  $m$  個特定分點處的  $m$  項求和公式正確地計算出，如果  $f(x)$  為一不高於  $(2m-1)$  次的多項式。

求積分公式為

$$\int_{-1}^1 \sqrt{\frac{1+x}{1-x}} f(x) dx = \sum_{i=1}^m H_i f(x_i) \quad (3.9)$$

式中

$$x_i = -\cos\left(\frac{2i\pi}{2m+1}\right) \quad i=1, 2, \dots, m$$

$$H_i = \frac{2\pi}{2m+1}(1+x_i) \quad (3.10)$$

用方程式(3.9)計算方程式(3.8)中的積分，如果在由方程式(3.10)所特定的  $m$  個分點處  $W_p(\xi)$  和  $W(\xi)$  恒等，則可以獲得恒等於零的結果。在這  $m$  個分點處  $W(\xi)$  之值確定了表示多項式  $W_p(\xi)$  的一個，且是唯一的  $(m-1)$  次多項式。

此條件為最有利的，因為如果取  $m$  個配置點，則形態形狀以及上洗可用最多為  $(m-1)$  次的多項式來表示。因此，這樣計算出的升力也將為正確值。但是，如前所述，如果只需求升力為正確值，則用對  $m$  點上洗計算所得的近似結果就足以準確地代表當上洗多項式的次數不高於  $(2m-1)$  次時所有的情況。關於這點將在下節內用幾個實例說明。

要回答的第二個問題是：“如何假設壓力分佈的表示式”？在簡單二元定常狀態的情況中，對於任何連續的上洗分佈，壓力分佈可以用反逆公式（方程式(2.8)）求出。因為在後緣處的 Kutta 條件和核函數的奇異特性對非定常可壓縮流仍保持不變。看來，認為在定常不可壓縮流的情況下獲得的压力分佈在這裡仍可使用是合理的。方程式(3.3)表明表示式的前面幾項。在假設壓力分佈的表示式，並定出上洗配置點以後，積分方程式中剩下的一些未知數就只是壓力表示式的系數了。在確定這些系數以前，必須回答第三個問題，“積分如何計算？”對二元定常狀態的情況，所有積分都可以用解析方法計算。但是，在一般情況，必須把奇異點適當地分離開，然後用數值方法計算。研究下面的積分

$$\oint_{-1}^1 \frac{p(\xi)}{x-\xi} d\xi = \oint_{-1}^1 \sqrt{\frac{1-\xi}{1+\xi}} \frac{g(\xi)}{x-\xi} d\xi \quad (3.11)$$

因為  $g(\xi)$  在區間  $-1 \leq \xi \leq 1$  內是連續解析函數，可以寫成

$$g(\xi) = g(x) + (\xi-x)g'(x) + \frac{(\xi-x)^2}{2!}g''(x) + \dots$$

或

$$\frac{g(\xi)-g(x)}{x-\xi} = g'(x) + \frac{(\xi-x)}{2}g''(x) + \dots \quad (3.12)$$

這樣，方程式(3.11)可以寫成

$$\oint_{-1}^1 \sqrt{\frac{1-\xi}{1+\xi}} \frac{g(\xi)}{x-\xi} d\xi$$

$$\begin{aligned}
 &= \oint_{-1}^1 \sqrt{\frac{1-\xi}{1+\xi}} \frac{g(\xi) - g(x)}{x-\xi} d\xi + g(x) \oint_{-1}^1 \sqrt{\frac{1-\xi}{1+\xi}} \frac{1}{x-\xi} d\xi \\
 &= \oint_{-1}^1 \sqrt{\frac{1-\xi}{1+\xi}} \frac{g(\xi) - g(x)}{x-\xi} d\xi + g(x) \pi
 \end{aligned} \tag{3.13}$$

上式右边第一部份的被积函数不再是奇異函数，可以用下面的求和公式进行积分（参考文献 22，第 331 頁）：

$$\int_{-1}^1 \sqrt{\frac{1-\xi}{1+\xi}} f(\xi) d\xi = \sum_{j=1}^n H_j f(\xi_j) \tag{3.14}$$

式中

$$\xi_j = -\cos \frac{2j-1}{2n+1} \pi, \quad j = 1, 2, 3, \dots, n$$

$$H_j = \frac{2\pi}{2n+1} (1 - \xi_j)$$

如果函数  $f(\xi)$  为一  $(2n-1)$  (或低于  $2n-1$ ) 次多项式，此公式为正确值。

如果用方程式(3.14)计算在方程式(3.13)中所示形式的积分，则没有困难，因为由方程式(3.10)导出的上流配置分点和方程式(3.14)中表示的积分分点不相重合。 $\frac{[g(\xi) - g(x)]}{(x-\xi)}$

项可直接计算。如果  $x$  趋近  $\xi$ ，此项将为  $g(\xi)$  的一阶导数，仍为有限函数。两组分点相互间的交叉关系用到展向积分中其优点就更明显，这将在下面几节中看到。

### 二元机翼的数值实例

此节内将用几个实例来证明前面二节中的理论。

#### 实例1. 定常不可压缩性流。

令正确的上洗为

$$W(\xi) = c_0 + c_1 \xi + c_2 \xi^2 + c_3 \xi^3 \tag{4.1}$$

正确的压力分布为

$$\begin{aligned}
 \bar{p}(x) &= \frac{-1}{2\pi^2} \sqrt{\frac{1-x}{1+x}} \oint_{-1}^1 \sqrt{\frac{1+\xi}{1-\xi}} \frac{1}{x-\xi} [c_0 + c_1 \xi + c_2 \xi^2 + c_3 \xi^3] d\xi \\
 &= \frac{1}{2\pi} \sqrt{\frac{1-x}{1+x}} [c_0 + c_1(1+x) + c_2(-\frac{1}{2} + x + x^2) + c_3(\frac{1}{2} + \frac{x}{2} + x^2 + x^3)]
 \end{aligned} \tag{4.2}$$

正确的截面升力为

$$L = b_0 \int_{-1}^1 \bar{p}(x) dx = b_0 \left[ \frac{c_0}{2} + \frac{c_1}{4} + \frac{c_2}{4} + \frac{3c_3}{16} \right] \tag{4.3}$$

绕中弦轴的截面俯仰力矩（机头向上为正）为：

$$m_{\frac{1}{2}c} = -b_0^2 \int_{-1}^1 \bar{p}(x) x dx = b_0^2 \left[ \frac{c_0}{4} + \frac{c_2}{16} \right] \tag{4.4}$$

假设用一线性表示式来近似地表示上洗  $W(\xi)$ ，即  $m = 1$

$$W_p(\xi) = B_0 + B_1 \xi \quad (4.5)$$

根据前节中的方程式(3.10)，必须使  $W(\xi)$  和  $W_p(\xi)$  在两个点即  $\xi_1 = \frac{1-\sqrt{5}}{4}$  和  $\xi_2 = \frac{1+\sqrt{5}}{4}$  处相等。由此值解  $B_0$  和  $B_1$ ，得：

$$\begin{aligned} B_0 &= c_0 + \frac{c_2}{4} + \frac{c_3}{8} \\ B_1 &= c_1 + \frac{c_2}{2} + \frac{c_3}{2} \end{aligned} \quad (4.6)$$

近似压力分布为

$$\begin{aligned} \bar{p}_p(x) &= \frac{1}{2\pi} \sqrt{\frac{1-x}{1+x}} [P_0 + B_1 x] \\ &= \frac{1}{2\pi} \sqrt{\frac{1-x}{1+x}} \left[ c_0 + \frac{c_2}{4} + \frac{c_3}{8} + (c_1 + \frac{c_2}{2} + \frac{c_3}{2})(1+x) \right] \end{aligned} \quad (4.7)$$

截面升力的近似值为

$$L_p = b_0 \int_{-1}^1 \bar{p}_p(x) dx = b_0 \left[ \frac{c_0}{2} + \frac{c_1}{4} + \frac{c_2}{4} + \frac{3c_3}{16} \right] \quad (4.8)$$

绕中弦轴的截面俯仰力矩近似值为：

$$m_{\frac{1}{2}p} = -b_0^2 \int_{-1}^1 \bar{p}_p(x) dx = b_0^2 \left[ \frac{c_0}{4} + \frac{c_2}{16} + \frac{c_3}{32} \right] \quad (4.9)$$

这说明升力为正确的，力矩有一包含  $c_3$  的高次项的误差。

**实例2.** 不可压缩流中的振荡运动。对二元非定常不可压缩流，核函数成为（见参考文献13，第40页上的方程式B30）

$$\begin{aligned} \int_{-\infty}^{\infty} K(x-\xi, \delta) d\delta &= K_2[(x-\xi), k] \\ &= \frac{2}{x-\xi} - 2ik e^{-ix(x-\xi)} \left\{ c_1 [k(x-\xi)] + i \left[ S_1 [k(x-\xi)] + \frac{\pi}{2} \right] \right\} \end{aligned} \quad (4.10)$$

压力上洗积分方程式成为：

$$\begin{aligned} -W(x) &= -4\pi \rho U \bar{w}_a(x) \\ &= \int_{-1}^1 \bar{p}(\xi) K_2[(x-\xi), k] d\xi \end{aligned} \quad (4.11)$$

如果取一配置点和一分点，则只能假设压力  $\bar{p}(\xi)$  的一项，

$$\bar{p}(\xi) = A \sqrt{\frac{1-\xi}{1+\xi}} \quad (4.12)$$

上洗配置和数值积分的分点分别在  $x = \frac{1}{2}$ ， $\xi = -\frac{1}{2}$  处。这即熟知的中弦线和半弦线点。则将有：

$$-W(x) = A \int_{-1}^1 \sqrt{\frac{1-\xi}{1+\xi}} K_2[(x-\xi), k] d\xi \quad (4.13)$$

用解析法积分奇异部份，其余部份用一点积分公式，则得

$$A = \frac{-W(\frac{1}{2})}{2\pi \left\{ 1 - ik e^{\pm ik} [c_1(k) + i(Si(k) + \frac{\pi}{2})] \right\}} \quad (4.14)$$

对平移运动

$$\bar{w}_p = -i\omega \bar{h}, \quad W = -4\pi \rho U^2 ik \frac{\bar{h}}{b} \quad (4.15)$$

这样可得

$$\begin{aligned} \bar{p}_p(\xi) &= -2\rho U^2 ik \frac{\bar{h}}{b_0} \sqrt{\frac{1-\xi}{1+\xi}} \left\{ \frac{1}{1 - ik [c_1(k) + i(Si(k) + \frac{\pi}{2})]} \right\} \\ \end{aligned} \quad (4.16)$$

而升力为

$$\begin{aligned} L_p &= b_0 \int_{-1}^1 \bar{p}_p(\xi) d\xi \\ &= -2\pi \rho U^2 ik \bar{h} \left\{ \frac{1}{1 - ik [c_1(k) + i(Si(k) + \frac{\pi}{2})]} \right\} \end{aligned} \quad (4.17)$$

正确的结果是：

$$\begin{aligned} \bar{p}(\xi) &= -2\pi \rho U^2 \frac{\bar{h}}{b_0} \sqrt{\frac{1-\xi}{1+\xi}} \left\{ ik(1+\xi) + \frac{H_1^{(2)}(k)}{H_1^{(2)}(k) + iH_0^{(2)}(k)} \right\} \\ L &= -2\pi \rho U^2 ik \bar{h} \left\{ \frac{ik}{2} + \frac{H_1^{(2)}(k)}{H_1^{(2)}(k) + iH_0^{(2)}(k)} \right\} \end{aligned} \quad (4.18)$$

由此可以看出对一个配置点，压力分布不是正确值。但是升力的近似程度很好。比较如表 1。

表1. 用两种方法获得的无因次升力  $L_h$  的比较

$$L_h = \frac{z}{\pi \rho U^2 b_0^2 k^2 (\bar{h}/b_0)}$$

积分点数目	$k$	现用方法	正 确 值	幅值误差	相位角误差
1	0	$0 - \infty i$	$0 - \infty i$	0	$0^\circ$
1	0.1	$-1.0896 - 8.3067i$	$-1.223 - 8.320i$	-0.37%	$1^\circ$
1	0.5	$0.2100 - 0.9817i$	$0.1986 - 1.1958i$	-17.0%	$1.45^\circ$
1	1.0	$0.2396 - 0.2162i$	$0.3996 - 0.5894i$	-51.9%	$1.3^\circ$
2	0.5	$0.1827 - 1.1768i$	$0.1986 - 1.1958i$	-1.55%	$0.7^\circ$

由上表可以看出，一点近似的結果确实是很好的。当減縮频率  $k$  增加时，准确度将比較差。为了說明用較好的积分方法可以改进到如何程度，对  $k=0.5$  的情况采用了 2 点积分公式，結果如表中最后一行所示。幅值的誤差由-17%减小到非常低的值-1.55%。因此，可以得出結論，如果采用的积分点和配置点的数目越多，则結果越准确。

实例3. 非定常可压缩流中的二元机翼。对二元非定常流，核函数如参考文献13的方程式B18所給，为：

$$\begin{aligned}
K(x-\xi) &= \int_{-\infty}^{\infty} K(x-\xi, \delta) d\delta \\
&= \frac{-\pi k}{\sqrt{1-M^2}} e^{-ik(x-\xi)} \left\{ e^{ik \frac{|x-\xi|}{\sqrt{1-M^2}}} \left[ i M H_1^{(2)} \left( \frac{Mk|x-\xi|}{1-M^2} \right) \right. \right. \\
&\quad - H_0^{(2)} \left( \frac{Mk|x-\xi|}{1-M^2} \right) \left. \right] + \frac{2i\sqrt{1-M^2}}{\pi} \ln \frac{1+\sqrt{1-M^2}}{M} \\
&\quad \left. + ik \int_0^{\frac{(x-\xi)}{M}} \frac{ik\lambda}{1-M^2} H_0^{(2)} \left( \frac{Mk\lambda}{1-M^2} \right) d\lambda \right\}. \quad (4.19)
\end{aligned}$$

上述核函数可分为两部份，非奇異部份  $K_{ns}$ ，和奇異部份  $K_s$ 。

$$\begin{aligned}
K_{ns}(x-\xi) &= \frac{-\pi k}{\sqrt{1-M^2}} \left\{ e^{\frac{ikM^2(x-\xi)}{1-M^2}} i M \frac{|x-\xi|}{\sqrt{1-M^2}} H_1^{(2)} \left( \frac{Mk|x-\xi|}{1-M^2} \right) + \frac{2(1-M^2)}{\pi k(x-\xi)} \right. \\
&\quad - e^{\frac{ikM^2(x-\xi)}{1-M^2}} H_0^{(2)} \left( \frac{Mk|x-\xi|}{1-M^2} \right) - i \frac{2}{\pi} \ln |x-\xi| \\
&\quad \left. + i \frac{2\sqrt{1-M^2}}{\pi} e^{-ik(x-\xi)} \ln \frac{1+\sqrt{1-M^2}}{M} \right. \\
&\quad \left. + ik e^{-ik(x-\xi)} \int_0^{\frac{(x-\xi)}{M}} e^{\frac{ik\lambda}{1-M^2}} H_0^{(2)} \left( \frac{Mk\lambda}{1-M^2} \right) d\lambda \right\} \quad (4.20)
\end{aligned}$$

$$K_s(x-\xi) = \frac{2\sqrt{1-M^2}}{x-\xi} - ik \frac{2}{\sqrt{1-M^2}} \ln |x-\xi| \quad (4.21)$$

如果我們假設壓力包括下列四項：

$$\begin{aligned}
\bar{p}(\xi) &= \frac{1}{2\pi\sqrt{1-M^2}} \left[ \bar{p}_0 \sqrt{\frac{1-\xi}{1+\xi}} + \bar{p}_1 \sqrt{1-\xi^2} + \bar{p}_2 \xi \sqrt{1-\xi^2} \right. \\
&\quad \left. + \bar{p}_3 \xi^2 \sqrt{1-\xi^2} \right] \quad (4.22)
\end{aligned}$$

則上式可表示如下：

$$-W(x) = \int_{-1}^1 \bar{p}(\xi) \{ K_s(x-\xi) + K_{ns}(x-\xi) \} d\xi \quad (4.23)$$

第一部份可用解析方法積分，結果如下：

$$\begin{aligned}
&\int_{-1}^1 \bar{p}(\xi) K_s(x-\xi) d\xi \\
&= \bar{p}_0 \left[ 1 - \frac{ik}{1-M^2} (x^2 - \ln 2) \right] \\
&\quad + \bar{p}_1 \left[ \xi - \frac{ik}{1-M^2} \left( -\frac{1}{2} \ln 2 - \frac{i}{4} + \frac{x^2}{2} \right) \right] \\
&\quad + \bar{p}_2 \left[ \left( -\frac{1}{2} + x^2 \right) - \frac{ik}{1-M^2} \left( -\frac{1}{2} x + \frac{1}{3} x^3 \right) \right] \\
&\quad + \bar{p}_3 \left[ \left( -\frac{x}{2} + x^3 \right) - \frac{ik}{1-M^2} \left( \frac{1}{32} - \frac{1}{8} \ln 2 - \frac{x^2}{4} + \frac{x^4}{4} \right) \right] \quad (4.24)
\end{aligned}$$

第二部份虽为非奇异部份，积分也不容易，其数值计算必须用方程式(3.14)进行：

$$\begin{aligned}
 -W(x) &= \int_{-1}^1 p(\xi) K_{ns}(x-\xi) d\xi \\
 &= \frac{1}{2\pi\sqrt{1-M^2}} \int_{-1}^1 \sqrt{\frac{1-\xi}{1+\xi}} \left[ \bar{p}_0 + \bar{p}_1(1+\xi) + \bar{p}_2\xi(1+\xi) \right. \\
 &\quad \left. + \bar{p}_3\xi^2(1+\xi) \right] K_{ns}(x-\xi) d\xi \\
 &= \frac{1}{2\pi\sqrt{1-M^2}} \sum_{i=1}^n H_i \left[ \bar{p}_0 + \bar{p}_1(1+\xi_i) + \bar{p}_2\xi_i(1+\xi_i) + \bar{p}_3\xi_i^2(1+\xi_i) \right]
 \end{aligned} \tag{4.25}$$

式中

$$\xi_i = -\cos \frac{2j-1}{2n+1}\pi, \quad j=1, 2, \dots, n$$

$$H_i = \frac{2\pi}{2n+1}(1-\xi_i)$$

因为在压力表示式中包括了四项，因而将有四个上洗配重分点。即

$$\begin{aligned}
 x_1 &= -0.766,044 \\
 x_2 &= -0.173,648 \\
 x_3 &= 0.500,000 \\
 x_4 &= 0.939,693
 \end{aligned} \tag{4.26}$$

如果采用四个积分分点，将为

$$\begin{aligned}
 \xi_1 &= -0.939,693 \\
 \xi_2 &= -0.500,000 \\
 \xi_3 &= 0.173,648 \\
 \xi_4 &= 0.766,044
 \end{aligned} \tag{4.27}$$

核函数的非奇异部份  $K_{ns}$  必须对所有  $x_i - \xi_j$  的组合进行计算。若  $M = 0.7$ ,  $k = 0.3$ , 只有十个  $K_{ns}$  之值必须计算，如下表所示。用这些值，将其代入方程式(4.25)，可以形成

表2.  $M=0.7$ ,  $k=0.3$  时二元核  $K_{ns}$  之值

$x_i - \xi_j$	$M=0.7, k=0.3$ 时的 $K_{ns}(x-\xi)$
1.879,39	$1.372,90 + 0.164,20i$
1.439,69	$1.446,69 + 0.800,96i$
1.000,00	$1.482,18 + 0.488,77i$
0.766,04	$1.481,96 + 0.510,73i$
0.326,35	$1.434,15 + 0.637,70i$
0.173,65	$1.396,56 + 0.677,27i$
0.000,00	$1.319,73 + 0.717,22i$
-0.266,04	$1.210,18 + 0.763,10i$
-0.347,30	$1.187,21 + 0.774,77i$
-0.939,69	$1.054,00 + 0.841,03i$
-1.532,09	$0.988,87 + 0.888,86i$

一组  $P$  的联立方程式，可以对任何形式的运动求解压力分布。

对这个情况，矩阵方程式如下：

$$\begin{pmatrix}
 1.873,56 & -0.380,04 & 0.066,17 & 0.031,44 \\
 +1.381,32i & +0.463,75i & -0.127,46i & +0.188,74i \\
 1.972,95 & 0.267,57 & -0.495,85 & 0.192,41 \\
 +0.943,06i & +0.593,74i & -0.034,27i & +0.098,95i \\
 2.010,94 & 0.993,48 & -0.264,05 & -0.006,34 \\
 +0.416,61i & +0.479,36i & +0.146,09i & +0.109,48i \\
 1.993,33 & 1.446,89 & 0.382,74 & 0.483,62 \\
 +0.065,08i & +0.249,93i & +0.140,05i & +0.087,07i
 \end{pmatrix} \begin{pmatrix} \bar{P}_0 \\ \bar{P}_1 \\ \bar{P}_2 \\ \bar{P}_3 \end{pmatrix} = \{W(x_1), W(x_2), W(x_3), W(x_4)\}^T$$

(4.28)

对平移运动，上式右边为：

$$-\begin{pmatrix} W(x_1) \\ W(x_2) \\ W(x_3) \\ W(x_4) \end{pmatrix} = 4\pi^2 U^2 \frac{\bar{h}}{b_0} \begin{pmatrix} -0.3i \\ -0.3i \\ -0.3i \\ -0.3i \end{pmatrix} \quad (4.29)$$

对绕中弦点的俯仰运动，(4.28)式右边为

$$-\begin{pmatrix} W(x_1) \\ W(x_2) \\ W(x_3) \\ W(x_4) \end{pmatrix} = 4\pi^2 U^2 \bar{\alpha} \begin{pmatrix} 1-0.229,813i \\ 1-0.052,094i \\ 1+0.150,000i \\ 1+0.281,908i \end{pmatrix} \quad (4.30)$$

求解  $p$ ，可获得如下的结果。对平移运动：

$$\begin{pmatrix} p_0 \\ p_1 \\ p_2 \\ p_3 \end{pmatrix} = 4\pi^2 U^2 \frac{\bar{h}}{b_0} \begin{pmatrix} -0.088,244-0.130,873i \\ 0.106,879-0.048,293i \\ 0.013,120+0.018,412i \\ -0.003,227+0.002,429i \end{pmatrix} \quad (4.31)$$

对俯仰运动

$$\begin{pmatrix} p_0 \\ p_1 \\ p_2 \\ p_3 \end{pmatrix} = 4\pi^2 U^2 \bar{\alpha} \begin{pmatrix} 0.459,153-0.386,168i \\ 0.207,113+0.679,162i \\ -0.155,962+0.056,938i \\ -0.009,827-0.024,290i \end{pmatrix} \quad (4.32)$$

将全部  $p$  之值代入方程式(4.22)即得压力分佈情况，繪成曲綫如图 2。

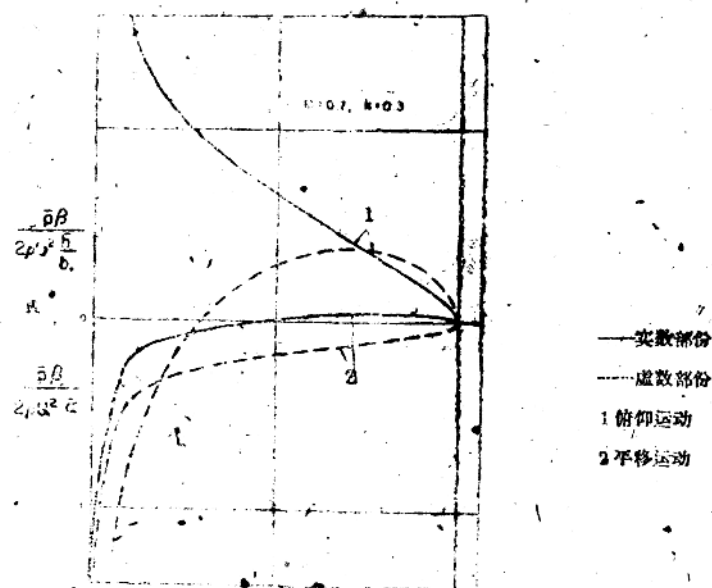


图 2  $M=0.7$   $R=15,300$  时振荡机翼上的弦向压力分佈

总升力和繞 $1/4$ 弦綫点的力矩可用正确积分計算出。其結果和Fettis和Dietze(参考文献23)获得的結果的比較如表3所示。

表3. 用三种不同方法获得的、亞音速流中擾動翼型上載荷的比較

$$\begin{aligned} L_h &= \frac{l}{\pi \rho U^2 b_0 k^2 (\bar{h}/b_0)} \\ L_a &= \frac{l}{\pi \rho U^2 b_0 k^2 (\bar{\alpha})} \\ M_{h(\frac{c}{4})} &= \frac{m(\frac{c}{4})}{\pi \rho U^2 b_0^2 k^2 (\bar{h}/b_0)} \\ M_{a(\frac{c}{4})} &= \frac{m(\frac{c}{4})}{\pi \rho U^2 b_0^2 k^2 (\bar{\alpha})} \end{aligned} \quad (4.33)$$

	$L_h$	$L_a$	$M_{h(\frac{c}{4})}$	$M_{a(\frac{c}{4})}$
現用方法	-1.0959	-17.471	0.87620	-0.98545
	-4.81484i	1.54416i	-0.29934i	-5.45766i
Fettis	-1.102	-17.91	0.842	-0.5962
	-4.789i	-0.807i	-0.310i	-5.447ii
Dietze	-1.0141	-18.03222	0.87389	-0.55589
	-4.81333i	-0.84078i	-0.29900i	-5.60667i

可以看出，結果是很滿意的。从在每一种方法中所作的假設来看，一致性是合理的。对于 $L_a$ ，其相位角的不一致性是多少為我們所不希望有的，这是因为机翼颤振对此量值很灵敏。如果在压力表示式中采用更多的項，并采用更精确的积分公式誤差可以减小。

### 沿翼展方向上洗分点的最佳位置和数值积分技术

沿翼展方向上洗配置分点的最佳位置可根据和第3节中弦向情况相似的推論确定。为此，我們將考虑一不可压缩流中的升力綫。

$$-W(y) = \oint \frac{\partial l(\eta)}{\partial \eta} \frac{1}{y-\eta} d\eta \quad (5.1)$$

和前面一样，式中 $l(\eta)$ 为 $p$ 的弦向积分。根据升力綫两端升力为零的条件，反逆公式为：

$$\frac{\partial l(y)}{\partial y} = \frac{1}{\pi c^2} \frac{1}{\sqrt{s^2 - y^2}} \int \frac{\sqrt{s^2 - \eta^2}}{y - \eta} W(\eta) d\eta \quad (5.2)$$

这里令：

$$\frac{\partial l}{\partial y} = \text{正确载荷 } l \text{ 对 } y \text{ 的偏导数}$$

$$\frac{\partial l_p}{\partial y} = \text{载荷的近似多项式 } l_p \text{ 对 } y \text{ 的偏导数}$$

$W(y)$  = 正確的展向上洗分佈

$W_p(y)$  = 上洗分佈的近似多項式

这样，我們有

$$\frac{\partial l}{\partial y} - \frac{\partial l_p}{\partial y} = \frac{1}{\pi^2} \int_{-s}^s \frac{1/\sqrt{s^2 - \eta^2}}{y - \eta} [W(\eta) - W_p(\eta)] d\eta \quad (5.3)$$

总升力之差可由量值  $y \left[ \frac{\partial l}{\partial y} - \frac{\partial l_p}{\partial y} \right]$  的偏积分給出：

$$\int_{-s}^s y \left[ \frac{\partial l}{\partial y} - \frac{\partial l_p}{\partial y} \right] dy = y \left[ l - l_p \right] \Big|_{-s}^s - \int_{-s}^s [l - l_p] dy = -A L \quad (5.4)$$

应注意，由于在翼展两端  $l$  和  $l_p$  都为零，方程式(5.4)的第一項亦为零。将方程式(5.3)代入方程式(5.4)，可得：

$$\begin{aligned} A L &= - \int_{-s}^s y \left[ \frac{\partial l}{\partial y} - \frac{\partial l_p}{\partial y} \right] dy \\ &= -\frac{1}{\pi^2} \int_{-s}^s \frac{1}{\sqrt{s^2 - y^2}} \int_{-s}^s \frac{1/\sqrt{s^2 - \eta^2}}{y - \eta} [W(\eta) - W_p(\eta)] d\eta dy \\ &= -\frac{1}{\pi} \int_{-s}^s \sqrt{s^2 - \eta^2} [W(\eta) - W_p(\eta)] d\eta \\ &= \text{最小值} = 0 \end{aligned} \quad (5.5)$$

因此，为了使升力差为最小，由方程式(5.5)可看出， $W(\eta)$  和  $W_p(\eta)$  必須在下列点处为全等，这些点为在区间  $-s \leq \eta \leq s$  内对  $\sqrt{s^2 - \eta^2}$  为正交的多项式的根。用龍朋弦向情况的同样理由和参考文献 22 第 331 頁，可得

$$\begin{aligned} \int_{-s}^s \sqrt{s^2 - y^2} g(y) dy &= s^2 \int_{-1}^1 \sqrt{1 - \underline{y}^2} g(s\underline{y}) d\underline{y} \\ &= s^2 \sum_{r=1}^R H_r g(s\underline{y}_r) \end{aligned}$$

式中

$$\begin{aligned} \underline{y}_r &= -\cos \frac{r\pi}{R+1}, \quad r = 1, 2, \dots, R \\ H_r &= \frac{\pi(1-\underline{y}_r)^2}{R+1} \end{aligned} \quad (5.6)$$

方程式(5.6)为正确解，如果  $g(s\underline{y})$  为一不高于  $(2R-1)$  次的多项式。

用方程式(5.6)计算方程式(5.5)中的积分，可获得如下的結果：如果  $W(\eta)$  为一不高于  $(2R-1)$  次的多项式，而  $W_p(\eta)$  为一  $(R-1)$  次多项式，方程式(5.5)的条件可完全满足。在方程式(5.6)所给出的 12 个分点处使  $W(\eta)$  和  $W_p(\eta)$  相等。而且，不仅是升力，而且高阶展向力矩都将是正确的，如果  $W(\eta)$  为一低于  $(2R-1)$  次的多项式。

可以看出，这里推导出的下洗配分点和 Moltzopp (参考文献 19) 所用的完全相同，理由也很相似。

在上洗分点的位置确定以后，则需要研究展向积分技术。在讨论积分方程式的最一般的形式（如方程式(2.1)或(2.5)）以前，先来研究方程式(5.1)即已足够，因为沿翼展方向用适当的分部积分的方法和翼弦方向的积分，方程式(2.1)或方程式(2.5)可简化为定常状态情况中的方程式(5.1)，在方程式(5.1)中，展向升力分佈如离翼尖距离的平方根一样趋于零，即

$$l(\eta) \approx \sqrt{s^2 - \eta^2} f(\eta) \quad (5.7)$$

因此我们将研究如下的一般形式的积分：

$$I(y) = \int_s^y \frac{\partial}{\partial \eta} [\sqrt{s^2 - \eta^2} G(y, \eta)] \frac{1}{y - \eta} d\eta \quad (5.8)$$

这里  $G(y, \eta)$  为以  $y$  为参数的  $\eta$  的有限解析函数。但是我们必须记住，通常  $G(y, \eta)$  为非常复杂的函数，只能在一定数量的已知点处求其数值，很明显，方程式(5.8)不能用以作数值积分，因为不仅在  $y = \eta$  处有一奇異点，而且对  $\eta$  的微分也非常困难。如果消除  $y = \eta$  处的奇異点并用分部积分法，则困难可以避免。写出

$$\begin{aligned} I(y) &= \int_s^y \frac{\partial}{\partial \eta} [\sqrt{s^2 - \eta^2} G(y, \eta)] \cdot \frac{1}{y - \eta} d\eta \\ &= \int_s^y \frac{\partial}{\partial \eta} [\sqrt{s^2 - \eta^2} (G(y, \eta) - G(y, y))] \cdot \frac{1}{y - \eta} d\eta \\ &\quad + G(y, y) \int_s^y \frac{\partial}{\partial \eta} [\sqrt{s^2 - \eta^2}] \frac{1}{y - \eta} d\eta \end{aligned} \quad (5.9)$$

第一部份可以用分部积分法积分，第二部份积分得到  $\pi$ 。为了避免围绕  $y = \eta$  处的奇異点，我们将积分写成下面的形式：

$$\begin{aligned} I(y) &= \lim_{\epsilon \rightarrow 0} \left\{ \int_s^{y-\epsilon} \frac{\partial}{\partial \eta} [\sqrt{s^2 - \eta^2} (G(y, \eta) - G(y, y))] \frac{1}{y - \eta} d\eta \right. \\ &\quad \left. + \int_{y+\epsilon}^y \frac{\partial}{\partial \eta} [\sqrt{s^2 - \eta^2} (G(y, \eta) - G(y, y))] \frac{1}{y - \eta} d\eta \right\} \\ &\quad + G(y, y) \pi \end{aligned} \quad (5.10)$$

用分部积分法积分方程式(5.10)，可得：

$$\begin{aligned} I(y) &= \lim_{\epsilon \rightarrow 0} \left\{ \sqrt{s^2 - \eta^2} (G(y, \eta) - G(y, y)) \frac{1}{y - \eta} \Big|_{y-\epsilon}^y \right. \\ &\quad \left. - \int_s^{y-\epsilon} \sqrt{s^2 - \eta^2} (G(y, \eta) - G(y, y)) \frac{1}{(y - \eta)^2} d\eta \right. \\ &\quad \left. + \sqrt{s^2 - \eta^2} (G(y, \eta) - G(y, y)) \frac{1}{y - \eta} \Big|_{y+\epsilon}^y \right. \\ &\quad \left. - \int_{y+\epsilon}^y \sqrt{s^2 - \eta^2} (G(y, \eta) - G(y, y)) \frac{1}{(y - \eta)^2} d\eta \right\} \\ &\quad + G(y, y) \pi \end{aligned} \quad (5.11)$$

因为  $G(y, \eta)$  为连续函数，其所有导数都存在，可得：